

논문 2010-47TC-4-6

# 슬롯형 분할 나선형 공진기를 이용한 소형 협 대역통과 필터 설계 및 제작

(Fabrication and Design of a Compact Narrow Band Pass Filter Using Slot Type Split Spiral Resonators)

최동묵\*, 김당오\*\*, 조남이\*\*, 김채영\*\*\*

(Dong-Muk Choi, Dang-Oh Kim, Nam-I Jo, and Che-Young Kim)

## 요약

본 논문에서는 슬롯형 분할 나선형 공진기를 이용하여 마이크로스트립 기판상에 구현될 소형 협 대역통과 필터설계기법을 제안한다. 이 필터의 설계기법은 슬롯형 분할 나선형 공진기, 패치사이의 용량성 캡, 그리고 미엔더 구조를 가진 유도성 스터브의 조합으로 구성된 필터 단들의 종속 연결에 근거를 두고 있다. 그 기법하에서 거의 대칭인 필터응답, 가변 대역폭, 그리고 소형필터를 구현할 수 있었다. 제안된 필터는 기존의 필터보다 저지대역에서 우수한 차단특성을 가졌다. 측정결과, 삽입손실은 중심주파수( $f_0=1\text{GHz}$ )에서  $-3.47\text{dB}$ , 통과대역에서  $-12.62\text{dB}$  이하,  $3\text{dB}$  대역폭은 약  $7.3\%$ 로 나타났다. 제작된 필터의 관심 영역 주파수응답은 CST사의 MWS(Microwave Studio)로 전산모의 실험된 값과 잘 일치되었다.

## Abstract

In this paper, a design method of the compact narrow band filter on the microstrip board is proposed using slot-type split spiral resonators. The design technique of this filter is based on cascading filter stages consisting of the combination of slot-type split spiral resonators, capacitive gaps between patches, and inductive grounded stubs with the meander configuration. By these means, it was possible to get the nearly symmetric frequency responses, adjustable bandwidths, compact sizes. And also excellent characteristic of the out-of-band rejection is achieved in contrast to the conventional filter design technique. The measured insertion loss shows good results about  $-3.47\text{dB}$  at the center frequency( $f_0=1\text{GHz}$ ) and passband return loss is less than  $-12.62\text{dB}$ . The  $3\text{dB}$  fractional bandwidth(FBW) is approximately  $7.3\%$ . The results of the frequency response measured on the fabricated band pass filter substrate show satisfactory agreement with the simulated frequency responses by the MWS(Microwave Studio) of CST in the region of interest.

**Keywords :** Slot Type Split Spiral Resonators, Meta-Materials, Microstrip lines, Microwave Filter

## I. 서 론

최근 이동통신의 급속한 발달과 더불어 보다 많은 통신채널이 요구됨에 따라 각 채널간의 간격이 점점 좁아지고 있다. 이는 채널간의 간섭을 증가시키게 된다. 따라서 채널간의 간섭을 줄이기 위해서는 높은 선택도와

통과대역 끝에서 차단율이 높은 대역통과필터가 필요하다. 이러한 요구조건을 만족시키기 위해서는 다수개의 극점을 갖는 필터 설계법이 제안되어야 한다. 다수개의 극점을 갖는 필터는 높은 삽입손실, 크기 및 비용의 증가와 더불어 신호의 왜곡을 심화시킨다. 따라서 필터의 차수가 작으면서 우수한 차단특성을 가지는 필터의 설계가 필요하다. 이러한 필터를 구현하기 위한 방법으로서 공진구조를 이용한 설계법이 연구되어 왔다<sup>[1~4]</sup>. 이러한 형태의 필터 구현시 소형 경량화 요구조건을 충족시키기 위해 마이크로스트립라인이 이용되었다. 그러나

\* 정희원, \*\* 학생회원, \*\*\* 정희원-교신저자,  
경북대학교 전자전기컴퓨터학부  
(Kyungpook National University)  
접수일자: 2009년9월10일, 수정완료일: 2010년4월13일

マイクロストリップライン을 이용한 공진기는 품질계수(Q)가 작을 뿐만 아니라 2, 3차 공진에 의한 고조파가 생김으로 인해 특히 저지대역 특성이 나빠진다. 저지대역 특성을 개선하기 위해 여러 가지 방법이 제안되었다<sup>[5~6]</sup>.

최근에 이러한 문제점을 획기적으로 해결하기 위한 방법으로 Metamaterial을 이용한 필터 설계법이 소개되고 있다<sup>[7~10]</sup>. 본 논문에서는 슬롯(Slot)형 분할 나선형 공진기를 이용하여 소형 협 대역 필터를 설계하였다. 이 구조를 이용하면, 공진 주파수에서 높은 품질계수를 가지면서도 신호의 파장보다 훨씬 작은 크기의 공진기 설계가 가능해 진다. 본 논문에서는 마이크로스트리ップ 기판의 하부 접지면에 슬롯형 분할 나선형 공진기를 제작하고, 윗면 신호선에 용량성 캡과 미엔더 구조의 유도성 스터브를 추가하여 필터를 구성하였다. 신호선에 부가된 용량성 캡과 유도성 스터브를 조정함으로써 대역폭과 삽입손실의 가변이 가능하고, 광대역에 걸쳐 우수한 저지대역 특성을 갖는 필터를 구현하였다.

## II. 필터 설계

일반화된 대역통과필터는 어드미턴스 인버터와 공진 주파수  $f_o$ 를 가지는 공진기가 교대로 종속 연결된 형태를 갖는다<sup>[11]</sup>. 그 형태를 그림 1에 나타내었다.

제안된 필터의 기본 셀의 구조는 기판의 접지면에 슬롯형 분할 나선형 공진기가 식각(蝕刻)되어 있다. 상부면은 신호선 사이에 있는 사각패치에 미세하게 식각된 캡과 비아 홀을 통해 접지된 미엔더 구조로 되어있는 금속 스터브로 구성되어 있다. 이 구조에서 슬롯형 분할 나선형 공진기는  $L_r$ 과  $C_r$ 로 구성된 공진기이고, 용량  $C_c$ 는 공진기 사이에 존재하는 금속과 캡 사이의 패치와의 결합(Coupling)량이다. 접지된 스터브는 인덕턴스  $L_p$ 로 나타낼 수 있고, 두 개의 캡은  $C_s$ 로 표현될 수 있다.

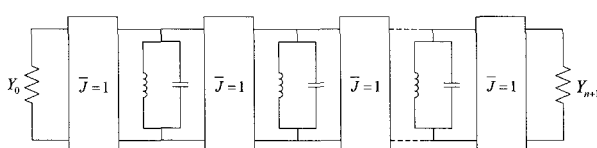


그림 1. 어드미턴스 인버터와 병렬 공진기로 구성된 일반화된 대역통과 필터

Fig. 1. Generalized band pass filter network with admittance and shunt resonators.

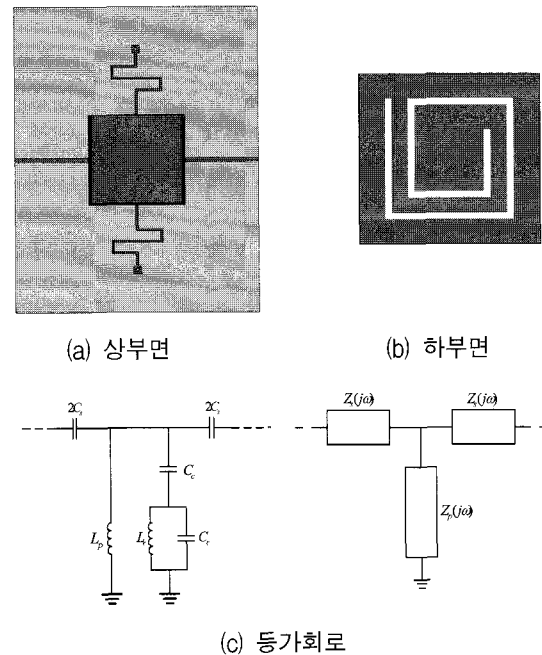


그림 2. 제안된 필터의 기본 셀과 등가회로  
Fig. 2. Basic cell of the proposed filters and its equivalent circuit.

이 구조에서 인덕턴스  $L_p$ 는 통과대역 상부끝에서의 주파수 천이특성을 개선하고, 광대역에 걸친 대역저지 특성을 개선하기 위해 도입되었다. 어드미턴스 인버터를 구현하기 위해서는  $90^\circ$  위상변이를 가지는 회로를 설계하여야 한다. 이를 위해 패치사이에 미세한 캡을 식각하였다. 이 방법은 전송선을 이용하여 구현하는 것보다 필터의 전체사이즈를 줄이는데 있어서 훨씬 효과적이다. 그림 2에 보인 등가회로를 근거로 하여 중심주파수  $f_o$ 가 1GHz이고, 비 대역폭(FBW)이 5%인 대역통과 필터를 설계하였다. 중심주파수에서 기본 셀의 입출력 포트사이의 위상변이  $\theta$ 는  $90^\circ$ , Bloch 임피던스  $Z_B$ 는 그림 1 회로의 포트 임피던스  $Z_0$ 로 주어진다<sup>[7]</sup>. 그림 2(c)에서 나타난 T형 회로가 반복되는 구조에서  $Z_B$ 와  $\theta$ 는 다음과 같이 주어진다<sup>[8]</sup>.

$$\cos \theta = 1 + \frac{Z_s(j\omega)}{Z_p(j\omega)} \quad (1)$$

$$Z_B(j\omega) = \sqrt{Z_s(j\omega)[Z_s(j\omega) + 2Z_p(j\omega)]} \quad (2)$$

그림 2(c)에 주어진 회로의 값을 구하기 위해 식 (1), (2)에  $f_o$ 의 조건을 부가하면  $Z_s = -jZ_0$ ,  $Z_p = jZ_0$ 가 된다.  $Z_s = -jZ_0$ 로부터  $C_s$  값은 다음과 같이 주어진다.

$$C_s = \frac{1}{2\omega Z_0} \quad (3)$$

센트 임피던스  $Z_p = jZ_0$ 라는 조건으로부터 식 (4)를 유도할 수 있다.

$$\frac{L_p L_r \omega_0^3 (C_c + C_r) - L_p \omega_0}{L_r \omega_0^2 (C_c + C_r) - C_c \omega_0^2 L_p (L_r C_r \omega_0^2 - 1) - 1} = Z_0 \quad (4)$$

$Z_p$  값은 4개의 소자로 구성되어 있으므로 3개의 조건이 더 필요하다.  $f_Z$ 는 그림 2(c)의 회로에서 전송계수 ( $S_{21}$ ) 값이 0인 주파수이며, 다음과 같이 주어진다.

$$f_Z = \frac{1}{2\pi \sqrt{L_r (C_r + C_c)}} \quad (5)$$

나머지 두 개의 조건은 기본 셀을 구성하는 공진기의 3dB 대역폭( $\Delta$ )과 관련되어 있다. 그 값은 식 (6)으로 표현된다.

$$\Delta = \frac{\omega_2 - \omega_1}{\omega_0} \quad (6)$$

여기서  $\omega_0$ ,  $\omega_2$ ,  $\omega_1$ 은 각각 중심 각 주파수와 상, 하측 파대 3dB 각 주파수를 나타낸다. 이 값은 주기구조로 설계한 필터의 비 대역폭(FBW)과 다음과 같은 관계가 있다<sup>[7]</sup>.

$$\Delta = \frac{2FBW}{g_i} \quad (7)$$

여기서  $g_i$  값은 저역통과필터 설계를 위해 주어지는 값이다. 3dB 각 주파수에서 센트 임피던스  $Z_p$  값은 각각  $Z_0/2$ 와 무한대가 된다. 이로부터

$$\frac{L_p L_r \omega_1^3 (C_c + C_r) - L_p \omega_1}{L_r \omega_1^2 (C_c + C_r) - C_c \omega_1^2 L_p (L_r C_r \omega_1^2 - 1) - 1} = \frac{Z_0}{2} \quad (8)$$

$$L_r \omega_2^2 (C_c + C_r) - C_c \omega_2^2 L_p (L_r C_r \omega_2^2 - 1) - 1 = 0 \quad (9)$$

가 된다. 설계된 필터의 구조는 기본 셀의 반복적인 병렬결합이므로  $\Delta$ 의 값들은 모두 동일하다. 따라서 기준의 필터 설계를 위해 주어진  $g_i$  값을 사용할 수 없다. 이 값을 얻기 위해 동일한 소자 값을 가지면서, 필터의 차수가 3인 저역통과필터 기본형을 기준으로 하고, 이 필터의 차단 각 주파수  $\omega_c$ 가 1[rad/s]에서 -3dB를 갖도록 설계하였다. 이 조건을 만족하는  $g_i$  값을 구하기 위해 상용 프로그램인 ADS를 이용하여 주파수 응

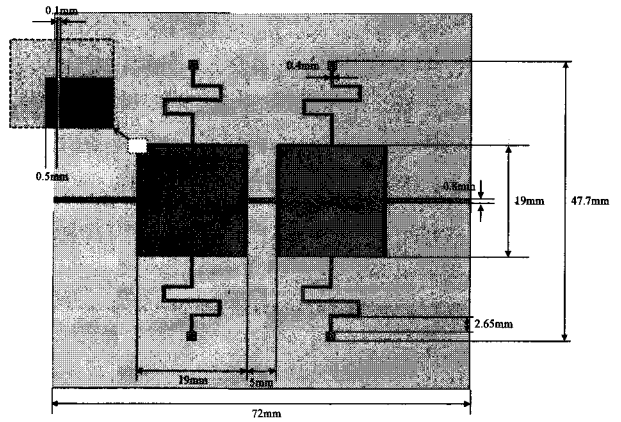


그림 3. 제안된 필터의 형상

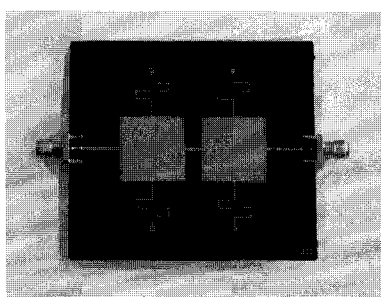
Fig. 3. Configuration for the proposed filter.

답특성을 전산모의실험 하였고, 그 결과 최적의  $g_i$  값은 1.521 이었다.

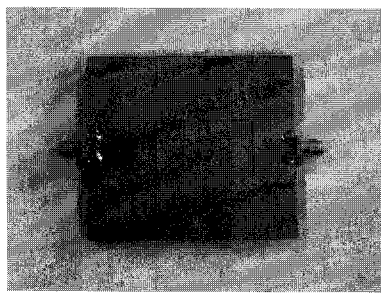
전송계수( $S_{21}$ )를 0으로 만드는 주파수  $f_Z$ 의 설정기준은 설계된 필터의 통과대역의 상측부 가장자리에서 변화율을 크게 하는 것과 저지대역에서의 고조파응답을 억제하는 것을 절충 해야만 한다. 본 논문에서는  $f_Z$ 값을  $2f_0$ 로 설정하였다. 슬롯형 분할 나선형 공진기의 초기값 결정은 참고문헌<sup>[9, 12]</sup>에서 제시된 방법을 이용하였다. 결합용량  $C_c$ 는 슬롯형 분할 나선형 공진기와 결합된 상측부분의 금속을 부분적으로 제거하면 조정가능하다. 인덕턴스  $L_p$ 와 직렬용량  $C_s$ 를 구성하는 접지된 스터브의 길이, 굵기와 선간 간격, 캡 간격은 상용툴인 CST사의 MWS를 이용하여 전산모의실행을 통해 구현하였다. 이를 바탕으로 설계된 필터의 형상은 그림 3과 같다.

### III. 특성측정 및 평가

제안된 필터를 비 유전율( $\epsilon_r$ )이 2.2이고, 두께가 0.254mm이고, 넓이가 72 × 64[mm<sup>2</sup>]인 Duroid 5880 기판에 제작하였다. 그림 4(a), (b)에서 제작된 필터를 보여주고 있다. 회로망 분석기 Anritsu 37397C를 이용하여 제작된 필터의 주파수 특성을 측정하였다. 그림 5는 제작된 필터의 전산모의실험 및 측정 결과를 보여주고 있다. 그림 5(a)는 통과대역에서의 주파수 특성이다. 중심주파수  $f_0$ 에서 측정된 삽입손실  $S_{21}$ 은 -3.47dB, 반사 손실  $S_{11}$ 은 통과대역에서 -12.62dB 이하였고, 비 대역폭(FBW)은 7.3%임을 알 수 있었다. 그림 5(b)는 광대



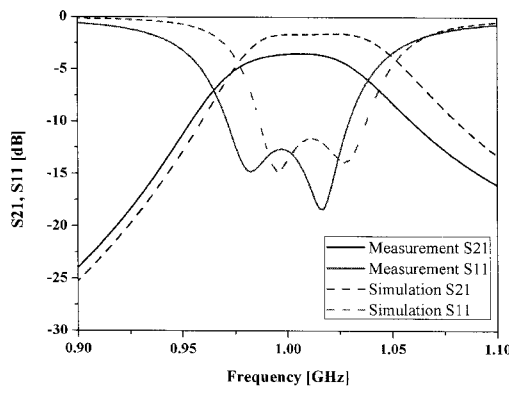
(a) 상부면



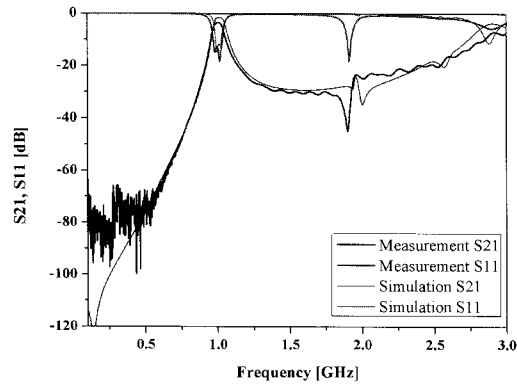
(b) 하부면

그림 4. 제작된 필터의 형상

Fig. 4. The photograph of the fabricated filter.



(a) 통과대역 주파수 특성



(b) 광대역 주파수 특성

그림 5. 설계된 필터의 측정 및 전산모의 실험 결과

Fig. 5. Measured and simulated frequency response on the designed filter.

역 주파수 특성을 보여준다.

접지된 스터브에 의해 저지 대역에서 고조파 특성이 억제되며, 2.5GHz 에 걸친 범위까지 약 -20dB 이하의 우수한 차단특성을 보여주고 있다. 또한 측정값과 전산모의 실험값은 비교적 잘 일치함을 알 수 있다.

#### IV. 결 론

본 논문에서는 슬롯형 분할 나선형 공진기를 이용하여 우수한 선택도를 가진 소형 협 대역 필터를 설계 및 제작하였다. 측정결과 제작된 필터의 중심주파수  $f_0$ 는 약 1GHz, 비 대역폭(FBW)은 7.3%, 삽입손실  $S_{21}$ 은 -3.47dB이고, 통과대역에서 반사손실  $S_{11}$ 은 -12.62dB 이하이었다. 그리고 2.5GHz에 걸쳐 -20dB 이하의 우수한 차단특성을 보여주었다. 측정된 주파수 응답은 통과대역 부근에서 CST사의 MWS로 전산모의 실험한 결과와 잘 일치하였다. 논문에서 제작된 필터는 고조파 영향을 최소화시키면서, 소형화된 대역통과 필터 설계에 유용하게 적용될 수 있을 것으로 생각된다.

#### 참 고 문 헌

- [1] A. E. Atia and A. E. Williams, "A Solution for narrow-band coupled cavities," COMSAT Laboratories Tech. Memo. CL-39-70, Sept. 22, 1970.
- [2] A. E. Atia and A. E. Williams, "Narrow band-pass waveguide filters," IEEE Trans. Microwave Theory Tech., vol. MTT-20, pp. 258-265, Apr. 1972.
- [3] A. E. Atia, A. E. Williams, and R. W. Newcomb, "Narrow-band multiple-coupled cavities synthesis," IEEE Trans. Circuits Systems, vol. CAS-21, pp. 649-655, Sept. 1974.
- [4] R. J. Cameron and J. D. Rhodes, "Asymmetric realizations for dual-mode bandpass filters," IEEE Trans. Microwave Theory Tech., vol. MTT-29, pp. 51-58, Jan. 1981.
- [5] C. F. Chen, T. Y. Huang, and R. B. Wu, "Novel compact net-type resonators and their applications to microstrip bandpass filters," IEEE Trans. Microwave Theory Tech., vol. 54, no. 2, pp. 755-762, Feb. 2006.
- [6] S. C. Lin, P. H. Deng, Y. S. Lin, C. H. Wang, and C. H. Chen, "Wide-stopband microstrip bandpass filters using dissimilar quarter-

- wavelength stepped-impedance resonators," IEEE Trans. Microwave Theory Tech., vol. 54, no. 3, pp. 1011–1018, Mar. 2006.
- [7] Dong-Muk Choi, Dang-Oh Kim, and Che-Young Kim, "Design of a Compact Narrow Band Pass Filter Using the Rectangular CSRRs," PIERS ONLINE, vol. 5, no. 5, pp. 456–460, 2009.
- [8] M. Gil, J. Bonache, I. Gil, J. Garcia-Garcia, and F. Martin, "On the transmission properties of left-handed microstrip lines implemented by complementary split rings resonators," Int. J. Numerical Modelling, vol. 19, pp. 87–103, Mar. 2006.
- [9] K. Buell, H. Mosallaei, and K. Sarabandi, "A substrate for small patch antennas providing tunable miniaturization factors," IEEE Trans. Microwave Theory Tech., vol. 54, no. 1, pp. 135–146, Jan. 2006.
- [10] L. Yousefi and O. M. Ramahi, "New artificial magnetic materials based on fractal hilbert curves," Antenna Technology : Small and Smart Antennas Metamaterials and Applications, IWAT International Workshop on 21–23, pp. 237–240, March 2007.
- [11] J. S. Hong and M. J. Lancaster, Microwave Filter for RF/Microwave Applications, New York : John Wiley & Sons, pp. 56–61, 2001.
- [12] J. D. Baena, J. Bonache, F. Martin, R. M. Sillerol, F. Falcone, T. Lopetegi, Miguel A. G. Laso, J. Garcia-Garcia, I. Gil, M. F. Portillo, and M. Sorolla, "Equivalent-circuit models for split-ring resonators and complementary split-ring resonators coupled to planar transmission lines," IEEE Trans. Microwave Theory Tech., vol. 53, no. 4, pp. 1451–1461, Apr. 2005.

---

### 저자 소개

---



최동목(정회원)

1988년 경북대학교 전자공학과  
학사 졸업.  
1991년 경북대학교 전자공학과  
석사 졸업.  
2003년 경북대학교 전자공학과  
박사 졸업.

1991년 ~ 1992년 LG전자 연구원  
1993년 ~ 1998년 국방품질관리연구소 연구원  
2004년 ~ 2006년 한국해양대학교 산업기술연구소  
전임연구원  
2006년 ~ 2009년 경북대학교 전자전기컴퓨터학부  
BK21 계약교수  
2009년 ~ 현재 경북대학교 전자전기컴퓨터학부  
박사후 연수연구원  
<주관심분야 : 마이크로파 소자 및 안테나 설계,  
메타물질>



김당오(학생회원)

2007년 한밭대학교 전파공학과  
학사 졸업  
2009년 경북대학교 전자전기  
컴퓨터학부 석사 졸업.  
2009년 ~ 현재 경북대학교 전자전  
기컴퓨터학부 박사 과정.  
<주관심분야 : 안테나 설계 및 마이크로파 소자  
설계, 메타물질>



김채영(정회원)-교신저자

1976년 경북대학교 전자공학과  
학사 졸업.  
1978년 한국과학원 전기 및 전자  
공학과 석사 졸업.  
1990년 한국과학기술원 전기 및  
전자공학과 박사 졸업.

1985년 ~ 1986년 미국 Syracuse 대학 방문 연구원  
1991년 ~ 1993년 미국MIT공대 연구과학자  
1979년 ~ 1992년 경북대학교 전자공학과  
전임강사, 조교수, 부교수  
1992년 ~ 현재 경북대학교 전자전기컴퓨터학부  
교수

<주관심분야 : 이동통신 전파환경, 전자파 수치해  
석, 전자파이론 및 응용, 메타물질>



조남이(학생회원)

2009년 한밭대학교 전파공학과  
학사 졸업.  
2009년 ~ 현재 경북대학교 전자전  
기컴퓨터학부 석사 과정.  
<주관심분야 : 안테나 설계, 메타  
물질>